

⑨ 常微分方程式をルンゲ・クッタ法で数値的に解を求める。
 (を用いて)

常微分方程式の初期値問題(I)

Runge-Kutta 法

- ◆ Runge-Kutta 法のアルゴリズム 定理 4.2 より精度 p の高い近似解法ほど誤差が小さかった。精度 4 をもつ 1 段階法として Runge-Kutta (ルンゲ・クッタ) 法がある。この方法は初期値問題の近似解法として広く用いられている。初期値問題

$$y' = f(x, y), \quad y(a) = y_0$$

を区間 $[a, b]$ で解くために、

$$h = (b-a)/n, \quad x_0 = a, \quad x_{i+1} = x_i + h \quad (i=0, 1, \dots, n)$$

としたとき、Runge-Kutta 法はつぎのアルゴリズムで示される:

$$Y_0 = y_0, \quad Y_{i+1} = Y_i + h(k_1 + 2k_2 + 2k_3 + k_4)/6$$

ただし、 $k_1 = f(x_i, Y_i)$
 $k_2 = f(x_i + (1/2)h, Y_i + (1/2)hk_1)$
 $k_3 = f(x_i + (1/2)h, Y_i + (1/2)hk_2)$
 $k_4 = f(x_i + h, Y_i + hk_3)$

◆ Runge-Kutta 法の計算ステップ

ステップ 1 a, b, n, y_0 の値を読み込む。

ステップ 2 $h = (b-a)/n$ を計算し、 $h/2 \rightarrow hh$ (hh は 1 つの変数名¹) とおく。
 $x = a, y = y_0, i = 0$ とおく。

ステップ 3 i, x, y の値を書き出す。

ステップ 4

$i+1 \rightarrow i$ とし、 $i > n \Rightarrow$ ステップ 7 へ

$i \leq n \Rightarrow$ ステップ 5 へ

ステップ 5 k_1, k_2, k_3, k_4 の値を次の順序で求める。

$$k_1 = f(x, y)$$

$$k_2 = f(x+hh, y+hh \times k_1)$$

$$k_3 = f(x+hh, y+hh \times k_2)$$

$$x+hh \rightarrow x \text{ として}$$

$$k_4 = f(x, y+hh \times k_3)$$

ステップ 6 $y + h(k_1 + 2k_2 + 2k_3 + k_4)/6 \rightarrow y$

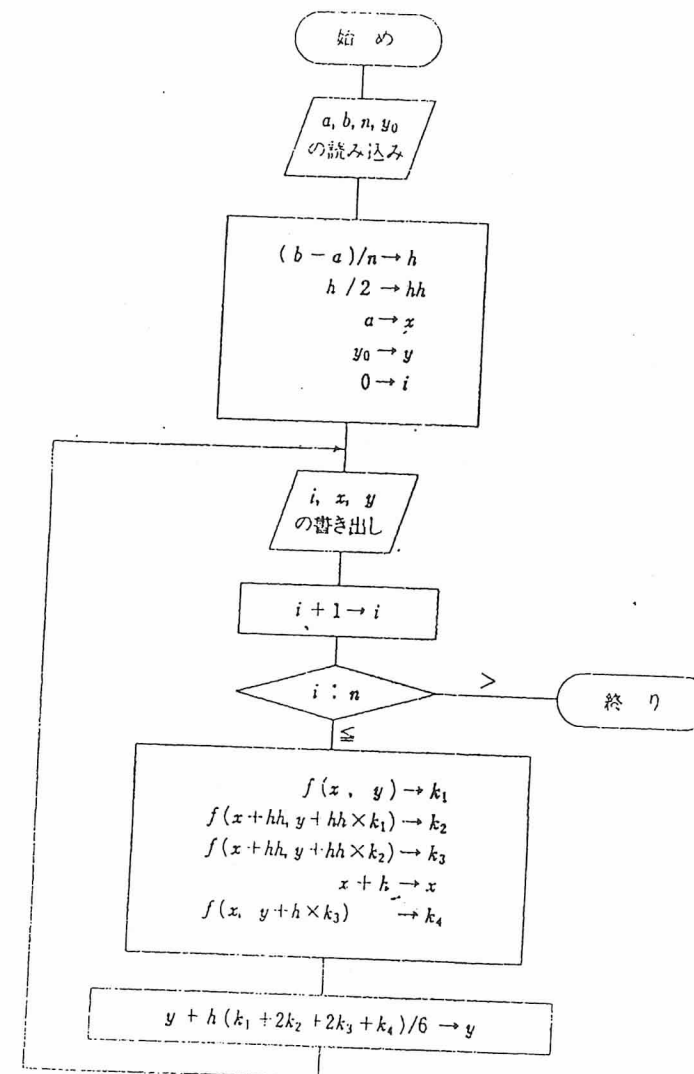
として、ステップ 3 に戻る。

ステップ 7 計算終了。

¹ 数学では通常変数は x, y, z, \dots のように 1 文字で表わすが、FORTRAN では英字で始まる 6 文字以内の英数字を変数名に使用できるので、今後 2 文字以上の変数名をときどき用いる。

4.5 Runge-Kutta 法

◆ Runge-Kutta 法の流れ図



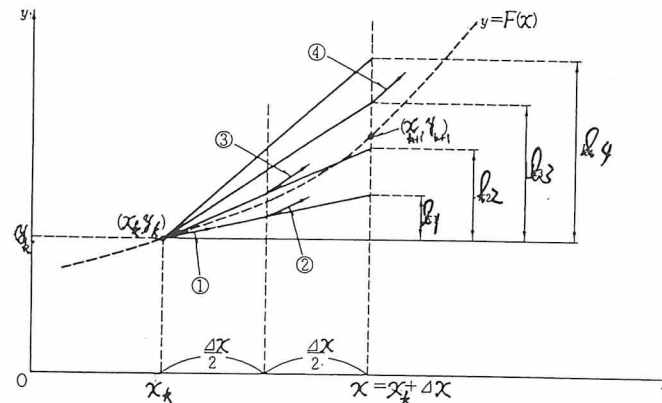
流れ図 4.1 4 次の Runge-Kutta 法

ルンゲ・クッタ法の計算原理

として、繰り返し演算をすれば数値的に微分方程式を解くことができる。

以上の計算原理を図解すると、

- i. 図の①は点 (x_k, y_k) における曲線の接線を表しており、 x が Δx 増加したときの y の増加量が l_1 である。
- ii. ②は、 $x_k + \frac{\Delta x}{2}$ での接線の傾きを表し、 l_2 はその傾き $f(x_k + \frac{\Delta x}{2}, y_k + \frac{l_1}{2})$ で x が Δx 増加したときの y の増加量をあらわす。
- iii. ③は②の傾きで x が $x_k + \frac{\Delta x}{2}$ になったときの接線を表し、 l_3 はその傾き $f(x_k + \frac{\Delta x}{2}, y_k + \frac{l_2}{2})$ で x が Δx 増加したときの y の増加量を表す。
- iv. ④は③の傾きで x が $x_k + \Delta x$ のときの接線を表し、 l_4 はその傾き $f(x_k + \Delta x, y_k + l_3)$ で x が Δx 増加したときの y の増加量を表す。
- v. 以上の4種類の y の増加量 l_1 から l_4 までを求め、それらを1:2:2:1の割合で重みをつけて平均した量 $\frac{1}{6}(l_1 + 2l_2 + 2l_3 + l_4)$ を繰り返し加算していく。



ルンゲ・クッタ法の原理

以上が一階の微分方程式をルンゲ・クッタ法で数値的に解く原理である。

参考文献：戸川隼人「数値計算」岩波書店

20.4. 連立方程式でのルンゲ・クッタ法 n 個の未知関数 y_1, \dots, y_n をきめる連立常微分方程式

$$\frac{dy_i}{dx} = f_i(x, y_1, \dots, y_n) \quad (i = 1, \dots, n)$$

の場合は y_1, \dots, y_n をベクトル $Y(y_1, \dots, y_n)$ として取扱うことによって1元のとくとまったく同じやり方が適用できる。また高階の常微分方程式

$$\frac{d^n y}{dx^n} = f\left(x, y, \frac{dy}{dx}, \dots, \frac{d^{n-1}y}{dx^{n-1}}\right)$$

の場合には

$$y_1 = y, y_2 = \frac{dy_1}{dx} = \frac{dy}{dx}, \dots, y_n = \frac{dy_{n-1}}{dx} = \frac{d^{n-1}y}{dx^{n-1}}$$

のようにおいて、この y_1, \dots, y_n についての連立方程式として処理すればよい。

簡単のため2元のとくについて計算のひとつひとつの手順を示すとつぎのようである。問題は

$$\frac{dy}{dx} = f(x, y, z), \quad \frac{dz}{dx} = g(x, y, z)$$

を初期条件 $x = x_0$ のとき $y = y_0, z = z_0$ で解くことである。

$$y(x_0 + h) - y(x_0) = \bar{k}, \quad z(x_0 + h) - z(x_0) = \bar{l}$$

はつぎのようにしてきめられる。

$$\begin{aligned} k_1 &= hf(x_0, y_0, z_0) & l_1 &= hg(x_0, y_0, z_0) \\ k_2 &= hf\left(x_0 + \frac{h}{2}, y_0 + \frac{k_1}{2}, z_0 + \frac{l_1}{2}\right) & l_2 &= hg\left(x_0 + \frac{h}{2}, y_0 + \frac{k_1}{2}, z_0 + \frac{l_1}{2}\right) \\ k_3 &= hf\left(x_0 + \frac{h}{2}, y_0 + \frac{k_2}{2}, z_0 + \frac{l_2}{2}\right) & l_3 &= hg\left(x_0 + \frac{h}{2}, y_0 + \frac{k_2}{2}, z_0 + \frac{l_2}{2}\right) \\ k_4 &= hf(x_0 + h, y_0 + k_3, z_0 + l_3) & l_4 &= hg(x_0 + h, y_0 + k_3, z_0 + l_3) \\ \bar{k} &= \frac{1}{6}(k_1 + 2k_2 + 2k_3 + k_4) & \bar{l} &= \frac{1}{6}(l_1 + 2l_2 + 2l_3 + l_4). \end{aligned}$$

ジル法などについても同様であって要するに1元のとく y, k, q などをもそのままベクトルの形と考えて適用すればよい。

<ルンゲ-ヴァッタ法の実用>

カオスを描く

非線形バネの強制振動

$$m \frac{d^2 x}{dt^2} = -kx - \underbrace{ax^3}_{\text{nonlinear}} - \gamma \frac{dx}{dt} + b \cos(\omega t) \quad (1)$$

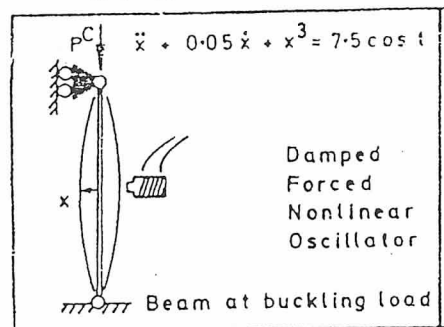
Duffing's equation

$$\ddot{x} + K\dot{x} + x^3 = B \cos t \quad (2)$$

($\dot{x} = \frac{dx}{dt}$)

K, B の値を変えることにより、 $x(t)$ の時間依存性は、周期、非周期（カオス）とさまざまに変化する。周期解でも初期条件のちがいで、2-5 種類の周期を持つ状態に引き込まれるなどさまざまな状態が出現する。これが、非線形現象のおもしろさである。

図 3-1



$$k=0, \quad a/m=1, \quad K \equiv \gamma/m$$

$$B \equiv b/m, \quad \omega=1$$

1

3次=項

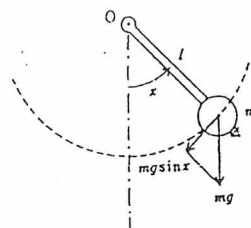


図 3-2

振り子の運動:

$$\ddot{x} = -\frac{g}{l} \sin x$$

$$= -\frac{g}{l} \left(x - \frac{1}{6} x^3 + \dots \right)$$

$$\ddot{x} + 0.05\dot{x} + x^3 = 7.5 \cos t$$

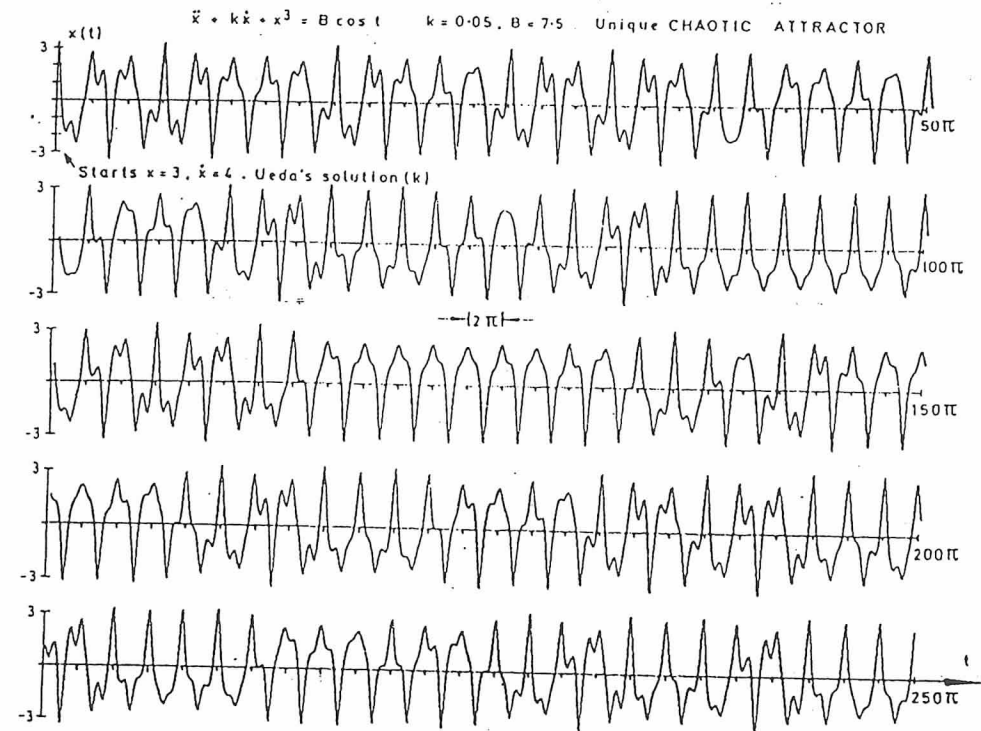


図 3-3 Time series of a steady-state chaotic response

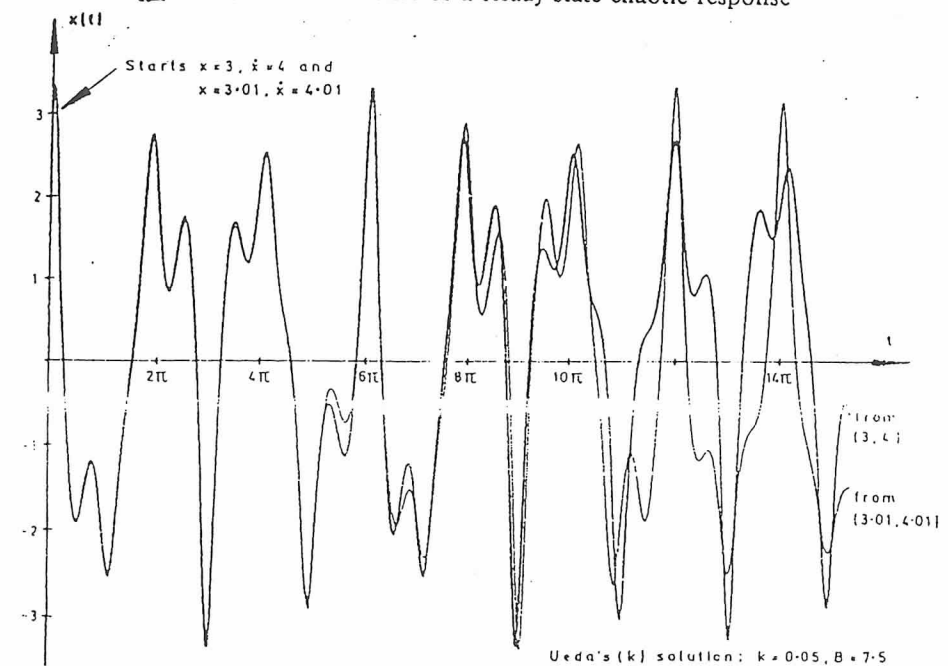
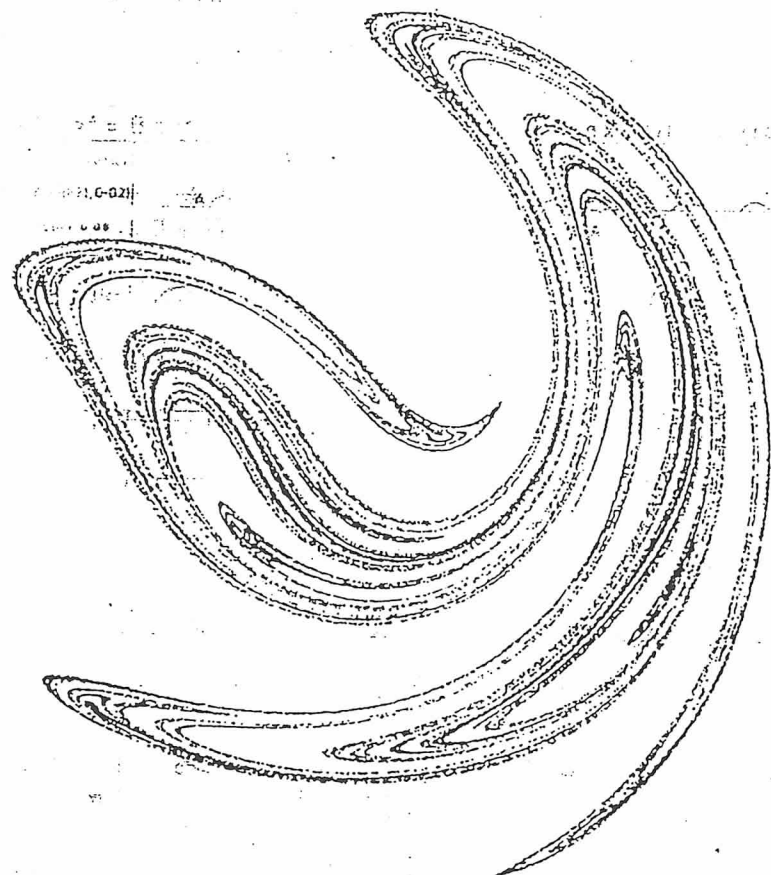
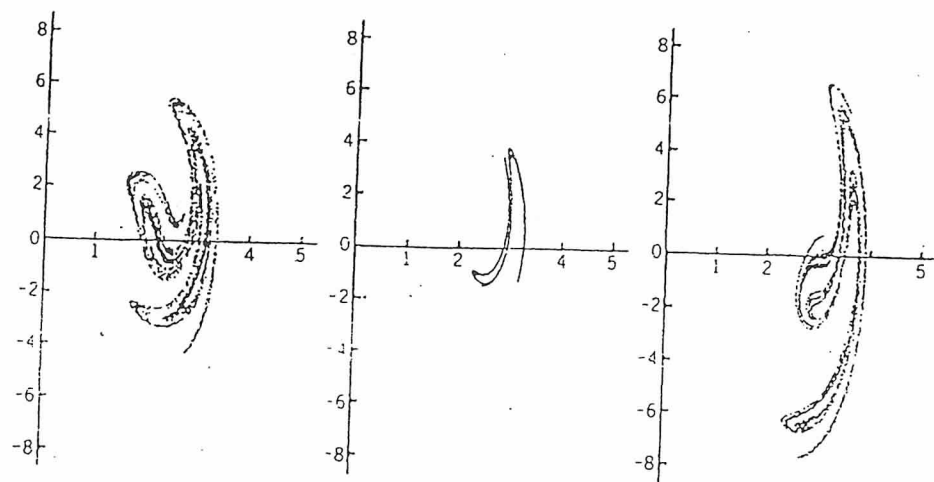


図 3-4 Divergence from adjacent starts: waveforms

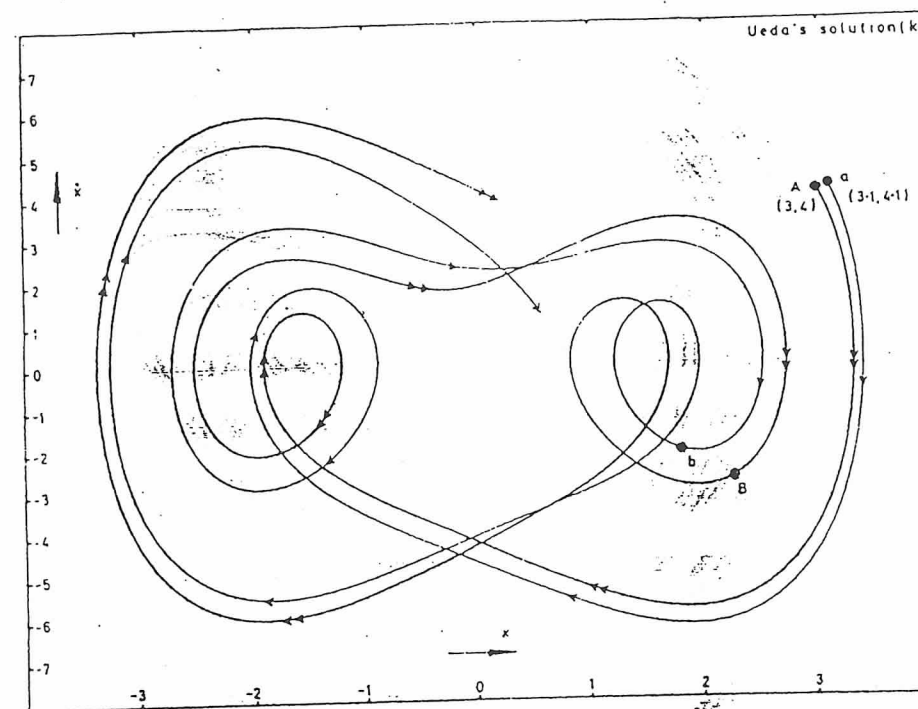


3-7. High-resolution Poincaré section of one of Ueda's chaotic attractors

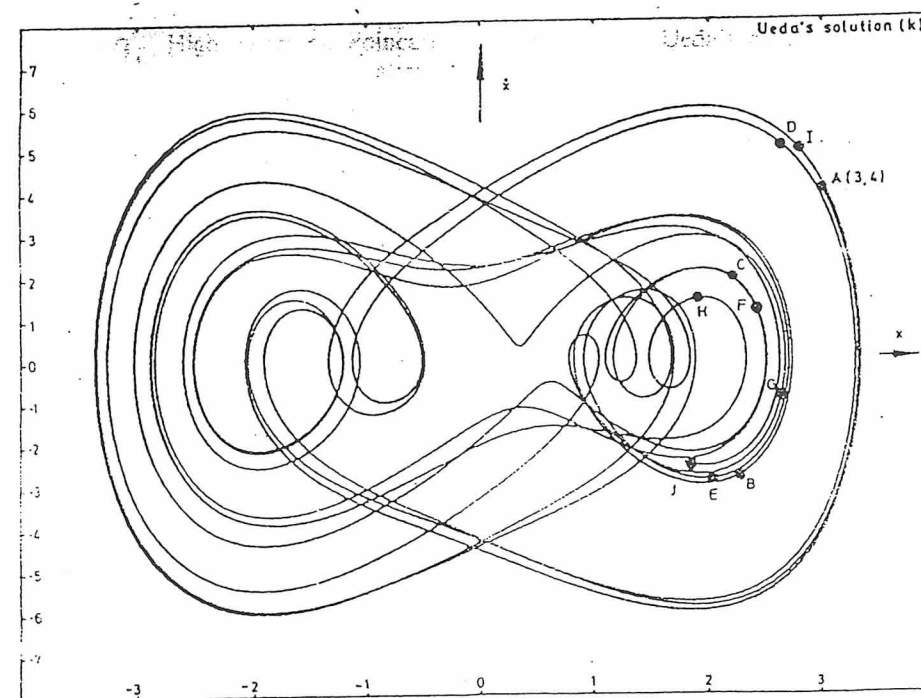


(k) $k = 0.05$, $B = 7.50$ (l_1) $k = 0.25$, $B = 8.50$ (o_1) $k = 0.10$, $B = 12.0$

3-8. Poincaré sections in the (x, \dot{x}) plane for three of Ueda's chaotic attractors.

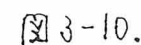


3-5. Divergence from adjacent starts: phase projections



3-6. Phase projection with a sequence of points in a Poincaré section

3-9. Long-term behaviour of Duffing's equation with forcing: coexisting periodic attractors



相圖

常微分方程式の数値解法とその応用

(i) $dy/dx = ax^2y$, $y(0)=1.0$ ($0 \leq x \leq 1$, $\Delta x = 0.1, 0.05$)

(a = -2 - 2, ~~42-0.1~~) aqitiz -2~2 n107
17 243

(ii) $dy/dx = y - x + a$, $y(0) = 0$, ($0 \leq x \leq 1, \Delta x = 0.1, 0.05$)

2. 次の連立一階常微分方程式を1.と同様にして解け。

(i) $\frac{dx}{dt} = \pi y$, $\frac{dy}{dt} = 0$; $x(0) = 1, y(0) = 0$

$$-\pi/2 \leq t \leq \pi/2, \Delta t = 0.1, 0.05$$

(ii) $dx/dt = -x + y$, $dy/dt = -x - y + 1$; $x(0)=1, y(0)=-1$

$$0 \leq t \leq 1, \quad t = 0.1, 0.05$$

3. 次の2階微分方程式を、1と同様にして解け。

(i) $\frac{d^2 y}{dx^2} + 3 \frac{dy}{dx} + 2y = 0$, $y(0)=1$, $\frac{dy}{dx}\bigg|_{x=0}=0$, $0 \leq x \leq 1$
 $\Delta x = 0.1, 0.05$

(ヒント; この式は、 $dy/dx = z$, $dz/dx = -3z - 2y$ の連立方程式として解ける)

(ii) $d^2 y/dx^2 + 2 dy/dx + y = 0$, $y(0)=0$, $dy/dx|_{x=0}=1$
($0 \leq x \leq 1$, $\Delta x = 0.1, 0.05$)

4. 1で求めた結果を図にplotせよ。(y vs. x)

5. Duffing方程式の K と B を変えて次の図をplotせよ。

- (i) $x(t)$ vs: t
- (ii) (x, \dot{x}) phase projection (ex. fig. 3-5, 3-6)
- (iii) Poincare section (period $T = 2\pi$)

→ 2π で (x, \dot{x}) を plot した断面

- (a) $(K, B) = (0.1, 0)$
- (b) $(K, B) = (0.1, 13.0)$
- (c) $(K, B) = (0.08, 0.2)$ (initial conditionを変えて、5つの周期解を出してみる。)
- (d) $(K, B) = (0.05, 7.50)$
- (e) Fig. 3-10 の相図から適当な (K, B) の値を選んでいろいろな状態を調べよ。

(*) 出力例

$$dy/dx = 0.2 * x \ y, \ y(0) = 1.0$$

x	y(x)	dy
0
0.1
0.2
0.3

④ グラフは gnuplot
を使って、それを print
out するのは

④ レポート提出の注意事項

A. 演習問題について

(1) No. 11 のプログラムは、それぞれ演習問題 1 (i), 2 (ii) の Runge-Kutta 法のところの関数プログラムである。(1)~(13)の空欄を埋めて、関数プログラムを完成した後、これらに対応する main プログラムを作って、全体のプログラムを完成せよ。
main プログラムの中では、パラメータ値、きざみ、初期値、相対誤差などが計算できるようにせよ。

(2) 他の演習問題も、(1)のようになって解け。

(3) 4、5でグラフを作成しますが、これは、データをファイルに保存して、それを gnuplot を使って、図を作ります。Gnuplot の使用法は、第2週めに説明します。

(3) 相対誤差は5を除いてすべての問題について求めよ。それには、解析解をもとめることが必要。

B. レポート提出について

1. レポートは e-mail ではなく、紙で出力して提出してください。
2. 提出課題は、上の問題の
問題 1、2、3 の各プログラムと出力結果
問題 4 のグラフ
問題 5 の (a)~(d),
(c) のどれか一つの場合

3. レポート提出の締め切りは、この課題が終了してから一週間以内に提出してください。課題が不完全な人も、いったん提出してから、残りを再提出する。

ん

演習問題 1-(i), 2-(ii) の Runge-Kutta 法の関数のプログラム例

(1) ~ (13) のように、適切にうめて完成させる。

演習 1-(i) の Runge-Kutta 法

```
void runge_kutta(double *x, double *y)
{
    double dx, k1, k2, k3, k4, k;
    dx = 0.05;

    k1 = dx * f(*x, *y);
    k2 = (1)
    k3 = (2)
    k4 = dx * f(*x + dx, *y + k3);
    k = (3) / 6.0;
    *x += dx;
    (4)

    double f(double x1, double y1)
    {
        double a = 1.3;
        return a * x1 * y1;
    }
}
```

演習 2-(ii) の Runge-Kutta 法

```
double *x, double *y,
double *t

void runge_kutta(double *x, double *y,
double *t, int n, double dt)
{
    double k[4], l[4], kk, ll, dt = 0.1;

    k[1] = dt * f(*x, *y);
    l[1] = (5)
    k[2] = dt * f(*x + k[1]/2.0, *y + l[1]/2.0);
    l[2] = (6)
    k[3] = dt * f(*x + k[2]/2.0, *y + l[2]/2.0);
    l[3] = (7)
    k[4] = dt * f(*x + k[3], *y + l[3]);
    l[4] = (8)

    kk = (k[1] + 2.0 * k[2] + k[3] + k[4]) / 6.0;
    ll = (l[1] + 2.0 * l[2] + l[3] + l[4]) / 6.0;
    *x += kk; *y += ll; *t += dt;

    double f(x, y)
    {
        return -x * y;
    }

    double (12)
    double x, y;
    {
        return (13)
    }
}
```